

чения колебаний 0,2 мкс; уровень помех 35 дБ; выходное напряжение 1 В при нагрузке 50 Ом; неравномерность АЧХ 1 дБ.

С помощью удвоителей УЧ1, УЧ2, входящих в состав устройства управления АОД, выходные колебания блока генераторов преобразуются в колебания диапазона 50 ÷ 100 МГц. Мощность сигнала на выходе усилителя мощности — до 1,5 Вт при нагрузке 50 Ом.

Устройство управления АОД состоит из пяти модулей КАМАК и имеет общую ширину 17 М. На рис. 6 приведен общий вид устройства управления совместно с акустооптическим дефлектором.

Разработанная система адресации светового пучка на основе АО-дефлектора имеет следующие характеристики: число позиций светового пучка 32; неравномерность раstra 10%; эффективность по свету для АОД с просветлением 80%, для АОД без просветления 55%; быстродействие 8 мкс.

## ЛИТЕРАТУРА

1. Блок А. А. и др. Хранение и считывание цифровых данных в голографической системе архивной памяти.— *Автометрия*, 1984, № 3, с. 19—26.
2. Пен Е. Ф. и др. Акустооптический дефлектор голограммного запоминающего устройства.— *Опт. и спектр.*, 1983, т. 55, вып. 1, с. 148—155.
3. Yano T., Kawabuchi M., Fukumoto A., Watanabe A. TeO<sub>2</sub> anisotropic Bragg light deflector without midband degeneracy.— *Appl. Phys. Lett.*, 1975, v. 26, N 12, p. 689—691.
4. Тищенко Ю. Н., Трубецкой А. В. Некоторые вопросы создания и исследования акустооптического дефлектора на монокристаллах TeO<sub>2</sub>.— *Автометрия*, 1979, № 1, с. 87—95.
5. Ohmachi Y., Uchida N. Acoustic and acousto-optical properties of TeO<sub>2</sub> single crystal.— *Review of the Electrical Com. Lab.*, 1972, v. 20, N 5—6, p. 529—541.
6. Севик Дж. Широкополосные согласующие трансформаторы большой мощности.— *Электроника*, 1976, № 24, с. 56—58.
7. Нурденас Д. Синтезаторы частот — обзор методов построения приборов.— *Зарубеж. радиоэлектрон.*, 1970, № 5, с. 115—120.
8. Зарецкий А. А., Климов И. И., Шидловский Р. Н. Коммутация ВЧ-напряжения в устройстве управления акустооптическим дефлектором.— *Вопросы радиоэлектроники. Сер. ЭВТ*, 1974, вып. 7, с. 87.
9. Вьюхин В. Н., Ванюшев Б. В., Чернышов А. И. Быстродействующий двухканальный генератор сетки кварцованных частот.— *ПТЭ*, 1978, № 4, с. 145—147.

*Поступила в редакцию 16 января 1984 г.*

УДК 535.241.13 : 534 : 621.373.826.032.265

С. В. БОГДАНОВ, Т. А. БОЛЬШЕВА

(Новосибирск)

## РАСЧЕТ ОСНОВНЫХ ПАРАМЕТРОВ АКУСТООПТИЧЕСКОГО ДЕФЛЕКТОРА НА TeO<sub>2</sub>

1. Широкое использование парателлурита (TeO<sub>2</sub>) в качестве светозвукопровода акустооптических дефлекторов (АОД) обусловлено весьма высоким значением акустооптической добротности  $M_2 = 1200 \cdot 10^{-15} \text{ с}^3/\text{кг}$  этого материала, широкой областью оптической прозрачности (0,35 ÷ 5 мкм), высоким оптическим качеством, возможностью осуществить аномальную широкополосную брэгговскую дифракцию. В то же время АОД на TeO<sub>2</sub> требуют тщательного расчета и весьма аккуратного изготовления, так как у этих кристаллов фазовая скорость  $v_s$  медленной звуковой волны сильно изменяется при отклонении направления распространения от оси [110]. При этом групповая скорость  $v_{гр}$  значительно откло-

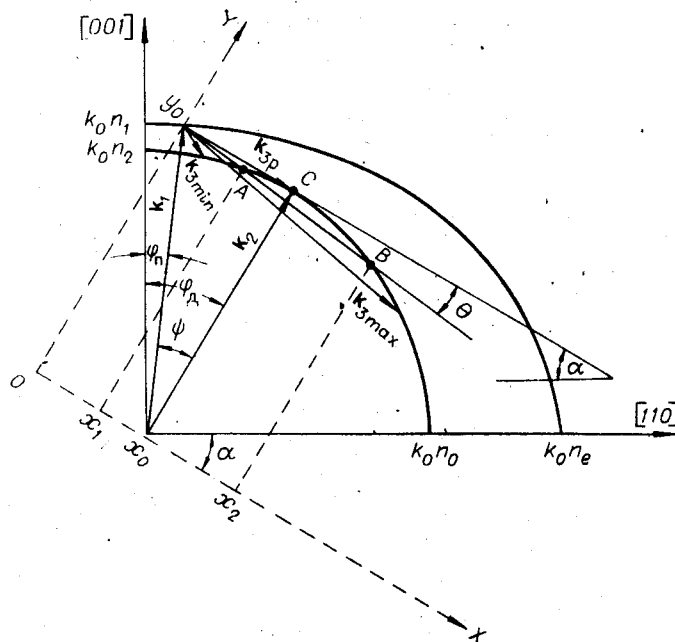


Рис. 1. Диаграмма волновых векторов:

$k_1$  — волновой вектор падающего света;  $k_{зр}$ ,  $k_{зmin}$ ,  $k_{зmax}$  — волновые векторы звука соответственно на расчетной ( $f_p$ ), минимальной ( $f_{min}$ ) и максимальной ( $f_{max}$ ) частотах;  $k_0 = 2\pi/\lambda_0$  — волновое число падающего света в вакууме;  $n_1$ ,  $n_2$ ,  $n_0$ ,  $n_e$  — соответствующие показатели преломления.

няется от направления [110]. Так, например, отклонение  $v_s$  от [110] всего на  $30'$  приводит к отклонению  $v_{гр}$  от этого направления уже на  $25^\circ$ . Кроме того,  $\text{TeO}_2$  обладает оптической активностью, приводящей к эллиптической поляризации света.

Хотя АОД на  $\text{TeO}_2$  используется давно, тем не менее до сих пор не существует простой и в то же время достаточно точной методики расчета этих АОД. Действительно, в первой работе [1], где был описан АОД на  $\text{TeO}_2$  без повторной дифракции, вообще не приводится методика расчета, а рекомендованный угол  $\alpha = 6^\circ$  между направлением фазовой скорости звука и осью [110] кристалла никак не обоснован. Этот пробел был восполнен в [2], специально посвященной методике расчета АОД на  $\text{TeO}_2$ . К сожалению, [2] содержит весьма существенное приближение: в ней не учитывается зависимость скорости звука  $v_s$  от угла  $\alpha$ , что не позволяет использовать ее для практических целей. Помимо упомянутых, нам известна еще одна публикация [3], посвященная этому вопросу. Однако изложенная в ней методика оперирует фиксированным углом  $\alpha$  ( $\alpha = 6^\circ$ ).

В данной работе для расчета параметров АОД предложен метод последовательных приближений, для выполнения которого можно использовать обычный карманный калькулятор. Как правило, достаточно трех приближений, чтобы найти искомые параметры АОД с необходимой точностью.

Исходными данными для расчета АОД являются: минимальная ( $f_{min}$ ) и максимальная ( $f_{max}$ ) рабочие частоты дефлектора, эффективность в пределах рабочей полосы (или степень неравномерности характеристики)  $\eta = \eta(f)$ , рабочая апертура устройства или число разрешимых точек.

В результате расчета должны быть определены: 1) геометрия акустооптического взаимодействия, т. е. угол падения ( $\phi_n$ ) и угол дифракции ( $\phi_d$ ) светового пучка, а также упоминавшийся выше угол  $\alpha$ ; 2) длина взаимодействия  $L$  (длина преобразователя); 3) интенсивность возбуждаемого звука  $I_s$ ; 4) частота повторной дифракции (которая должна лежать вне рабочего диапазона частот); 5) геометрические размеры светозвуко-

провода; 6) размеры преобразователя и необходимая электрическая мощность  $P_{эл}$ .

Так как изложение полного расчета АОД не может уместиться в рамках одной журнальной статьи, остановимся на расчете только первых трех пунктов.

II. Геометрия волновых векторов рассматриваемого акустооптического дефлектора изображена на рис. 1. Здесь представлено сечение поверхности волновых векторов право- и левоэллиптически поляризованного света плоскостью (110), проходящей через оптическую ось и направление [110].

Внешняя кривая (несколько искаженный эллипс) — геометрическое место концов волновых векторов эллиптически левополяризованного света. При углах падения  $\varphi_n \geq 5^\circ$  эта кривая является геометрическим местом концов волновых векторов света, поляризованного в плоскости падения (необыкновенный луч). Внутренняя кривая (несколько искаженная окружность) — геометрическое место концов волновых векторов эллиптически правополяризованного света. При углах дифракции  $\varphi_d \geq 5^\circ$  она представляет собой геометрическое место концов волновых векторов света, поляризованного перпендикулярно плоскости падения (обыкновенный луч). В широкополосной геометрии АОД внешняя кривая относится к падающему, а внутренняя — к дифрагированному свету.

Из двух возможных способов выполнения широкополосного АОД выбран такой, когда угол падения  $\varphi_n$  меньше, чем угол дифракции  $\varphi_d$ , поскольку эта геометрия, как было нами показано ранее, является более широкополосной, чем при  $\varphi_n > \varphi_d$ .

Рабочие частоты дефлектора считаются достаточно высокими. При этом расчетная частота  $f_p$ , при которой волновой вектор  $\mathbf{k}_{зр}$  касателен к внутренней кривой (см. рис. 1), больше критической частоты  $f_{кр}$ , при которой  $\mathbf{k}_{зр}$  был бы перпендикулярен оптической оси. Вся диаграмма волновых векторов лежит в одном квадранте.

III. Расчет углов  $\varphi_n$ ,  $\varphi_d$  и  $\alpha$ , как уже упоминалось, проводится методом последовательных приближений. Для выполнения расчетов удобно предварительно составить две таблицы.

А. Табл. 1, в которой приведены значения скорости звука  $v_s$  с точностью до 3-го знака после запятой в зависимости от угла  $\alpha$  в пределах изменения  $\alpha$  от 0 до  $12^\circ$  через каждые  $30'$ . Зависимость  $v_s(\alpha)$  подсчитывается по формуле [4]

$$v_s(\alpha) = \left[ \frac{1}{\rho} \left( \frac{c_{11} - c_{12}}{2} \cos^2 \alpha + c_{44} \sin^2 \alpha \right) \right]^{1/2},$$

где  $\rho$  — плотность  $\text{TeO}_2$ ;  $c_{ij}$  — соответствующие упругие постоянные  $\text{TeO}_2$ .

Б. Табл. 2, в которой приведены значения показателей преломления  $n_1$  и  $n_2$  с точностью до 5-го знака после запятой в зависимости от угла  $\varphi$  между волновым вектором света и оптической осью [001] в пределах от 0 до  $12^\circ$  через каждые  $30'$ . Значения  $n_1$  и  $n_2$  для оптически активных кристаллов даны в [5]:

$$n_1(\varphi) = n_{01}(\varphi) + \frac{1}{2} n_{01}^3(\varphi) \rho(\varphi) G(\varphi);$$

$$n_2(\varphi) = n_{02} - \frac{1}{2} n_{02}^3 \rho(\varphi) G(\varphi).$$

Для одноосного кристалла

$$n_{02} = n_o; \quad n_{01}(\varphi) = n_o n_e \sqrt{n_o^2 \sin^2 \varphi + n_e^2 \cos^2 \varphi};$$

$$\rho(\varphi) = \frac{1}{2G} \left[ \sqrt{(n_o^{-2} - n_{01}^{-2})^2 + (2G)^2} - (n_o^{-2} - n_{01}^{-2}) \right];$$

$$G(\varphi) = R \lambda_o \cos^2 \varphi / \pi n_o^3.$$

Здесь  $R = R(\lambda_o)$  — удельное вращение вдоль оптической оси. Значения  $R(\lambda_o)$  для  $\text{TeO}_2$  приведены в [6]. Кроме того, необходимо знать  $f_p$  и

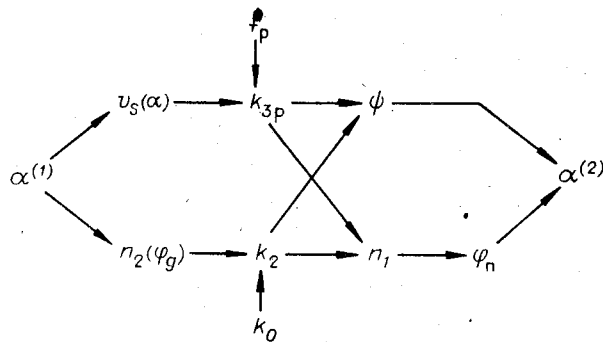


Рис. 2. Схема расчета геометрии АОД методом последовательных приближений.

$k_0 = 2\pi/\lambda_0$ . Определение величины  $f_p$  приведено ниже. Схема расчета представлена на рис. 2.

*А. Первое приближение.*

1. Задаем значение угла  $\alpha = \alpha^{(1)}$ . Из рис. 1 видно, что угол дифракции  $\varphi_d$  равен углу  $\alpha$ , т. е.  $\varphi_d^{(1)} = \alpha^{(1)}$ . В качестве первого приближения при расчетной частоте  $50 \text{ МГц} \leq f_p \leq 100 \text{ МГц}$  целесообразно принять  $\alpha^{(1)} = 6^\circ$ .

2. По табл. 1 или непосредственно по приведенной выше формуле находится скорость  $v_s^{(1)}$  медленной сдвиговой волны, соответствующая выбранному углу  $\alpha^{(1)}$ .

3. Используя найденное значение  $v_s^{(1)}$  и известную из предварительных расчетов  $f_p$ , вычисляем

$$k_{3p}^{(1)}(\alpha) = 2\pi f_p / v_s^{(1)}.$$

4. При заданном угле дифракции  $\varphi_d^{(1)} = \alpha^{(1)}$  по табл. 2 находим значение показателя преломления для дифрагированного света  $n_2^{(1)}(\varphi)$ .

5. Используя значение  $n_2^{(1)}$  и зная  $k_0 = 2\pi/\lambda_0$ , находим  $k_2^{(1)} = k_0 n_2^{(1)}$ .

6. По величинам  $k_{3p}^{(1)}$  и  $k_2^{(1)}$  получим угол между падающим и дифрагированным светом (см. рис. 1)

$$\psi^{(1)} = \arctg \frac{k_{3p}^{(1)}}{k_2^{(1)}}.$$

7. По величинам  $k_{3p}^{(1)}$ ,  $k_2^{(1)}$  и  $n_2^{(1)}$  определяем показатель преломления для падающего света

$$n_1^{(1)} = n_2^{(1)} \sqrt{1 + (k_{3p}^{(1)} / k_2^{(1)})^2}.$$

8. Зная  $n_1^{(1)}$ , по табл. 2 находим угол падения  $\varphi_n^{(1)}$ , соответствующий значению  $n_1^{(1)}$ .

9. По полученным  $\varphi_n^{(1)}$  и  $\psi^{(1)}$  уточняем значение угла  $\alpha$ :

$$\alpha^{(2)} = \varphi_n^{(1)} + \psi^{(1)}.$$

*Б. Последующие приближения.* Все последующие приближения не отличаются от только что описанного. Принимая за исходное значение  $\alpha = \alpha^{(2)}$  и повторяя весь расчет снова, находим уточненное значение угла  $\alpha = \alpha^{(3)}$ . Расчет повторяется до тех пор, пока  $\alpha^{(n)} = \alpha^{(n-1)}$ . Обычно достаточно трех приближений, чтобы определить все необходимые углы.

IV. При расчете геометрии АОД основным параметром является расчетная частота  $f_p$ , при которой волновой вектор  $\mathbf{k}_{3p}$ , как уже упоминалось выше, касателен к внутренней кривой и треугольник  $x_0 y_0 C$  прямоугольный. Расчетная частота находится из условия симметричности идеализированной\* характеристики  $\eta = \eta(f)$  АОД.

\* Под идеализированной характеристикой АОД понимаем зависимость  $\eta = \eta(f)$  при условии, что интенсивность  $I_{s0}$  излучаемого преобразователем звука не зависит от частоты во всем рабочем диапазоне частот.

Для определения расчетной частоты  $f_p$  перейдем к системе координат  $X - Y$ , в которой  $OX \parallel k_{3p}$  и  $OY \parallel k_2$  (см. рис. 1). В этих координатах уравнение внутренней кривой (при  $\varphi_d \geq 5^\circ$ ) имеет вид

$$(x - k_{3p})^2 + y^2 = k_2^2.$$

Уравнение секущей, проведенной из точки  $y_0 = k_2$  под углом  $\Theta$  к  $k_{3p}$ :

$$y = k_2 - x \operatorname{tg} \Theta.$$

Решая совместно эти два уравнения, найдем координаты  $x_1$  и  $x_2$  точек их пересечения (см. рис. 1). Поскольку угол  $\Theta$  очень мал ( $\Theta \sim 10^{-3}$ ), то  $x_1 = k_{3(1)} \cos \Theta \approx k_{3(1)}$ ;  $x_2 = k_{3(2)} \cos \Theta \approx k_{3(2)}$  и  $(1 + \operatorname{tg}^2 \Theta) \approx 1$ . Будем считать, что волновое число  $k_{3(1)}$  получено при угле  $\Theta_1$ , а  $k_{3(2)}$  — при угле  $\Theta_2$ , причем  $k_{3(1)} < k_{3p}$ , а  $k_{3(2)} > k_{3p}$ . Тогда

$$k_{3(1)} = (k_{3p} + k_2 \operatorname{tg} \Theta_1) - \sqrt{(k_{3p} + k_2 \operatorname{tg} \Theta_1)^2 - k_{3p}^2}; \quad (1)$$

$$k_{3(2)} = (k_{3p} + k_2 \operatorname{tg} \Theta_2) + \sqrt{(k_{3p} + k_2 \operatorname{tg} \Theta_2)^2 - k_{3p}^2}. \quad (2)$$

Из соотношений (1) и (2) можно определить углы  $\Theta_1$  и  $\Theta_2$ . Вычислим  $\Theta_1$  и  $\Theta_2$  на краях рабочего диапазона частот, т. е. положим  $k_{3(1)} = k_{3 \min}$ ;  $k_{3(2)} = k_{3 \max}$ . Вводя обозначения

$$k_{3p} = a k_{3 \min}; \quad k_{3 \max} = n k_{3 \min} \quad (3)$$

и полагая, что  $\operatorname{tg} \Theta \approx \Theta$ , получим

$$\Theta_1 = \frac{(k_{3p} - k_{3(1)})^2}{2k_2 k_{3(1)}} = \frac{k_{3 \min} (a - 1)^2}{2k_2}; \quad (4)$$

$$\Theta_2 = \frac{(k_{3(2)} - k_{3p})^2}{2k_2 k_{3(2)}} = \frac{k_{3 \min} (n - a)^2}{2n k_2}.$$

Отношение этих углов равно

$$\Theta_1 / \Theta_2 = n(a - 1)^2 / (n - a)^2. \quad (5)$$

Для того чтобы эффективность дифракции на частотах  $f_{\min}$  и  $f_{\max}$  была одинаковой, необходимо выполнить условие

$$\Delta \alpha_1 / \Delta \alpha_2 = f_{\max} / f_{\min} = n.$$

Здесь  $\Delta \alpha$  — угол раствора диаграммы направленности преобразователя, отсчитываемый от нормали к преобразователю (рис. 3). Как видно из рисунка, углы  $\Theta$  выражаются через  $\Delta \alpha$  следующим образом:

$$\Theta_2 = \Delta \alpha_3 + \Delta \alpha_2; \quad \Theta_1 = \Delta \alpha_3 + \Delta \alpha_1 = \Delta \alpha_3 + n \Delta \alpha_2.$$

Обозначим  $\Delta \alpha_3 = m \Delta \alpha_2$ . Тогда

$$\Theta_1 = \Delta \alpha_2 (n + m); \quad \Theta_2 = \Delta \alpha_2 (1 + m) \quad (6)$$

и

$$\Theta_1 / \Theta_2 = (n + m) / (1 + m) = n(a - 1)^2 / (n - a)^2. \quad (7)$$

Выражение (7) можно рассматривать как уравнение для определения  $a$ . Обозначив  $\sqrt{(m + n) / n(1 + m)} = b$ , найдем

$$a = (1 + nb) / (1 + b) \quad \text{и} \quad f_p = a f_{\min}. \quad (8)$$

V. Величина  $n = f_{\max} / f_{\min}$  задана техническими условиями (обычно  $n = 2$ ). Поэтому расчетная частота реально определяется углом  $\Delta \alpha_3 = m \Delta \alpha_2$ , от которого зависит эффективность дифракции в середине рабочего диапазона. Зависимость  $a = a(m)$  при  $n = 2$  приведена на рис. 4. Выражения (4) и (6) позволяют определить угол  $\Delta \alpha_2$  при заданных параметрах  $n$  и  $m$ :

$$\Delta \alpha_2 = k_{3 \min} (a - 1)^2 / 2k_2 (n + m). \quad (9)$$

Зависимость  $\Delta \alpha_2 = \Delta \alpha_2(m)$  при  $n = 2$  представлена также на рис. 4. За-

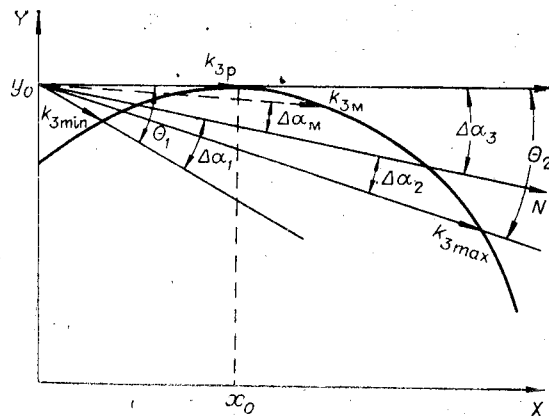


Рис. 3. Волновые векторы, углы  $\Theta$  и  $\Delta\alpha$ .

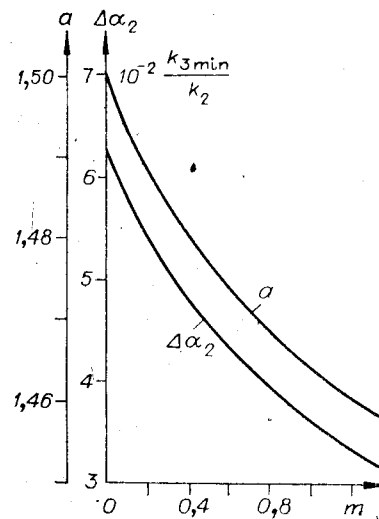


Рис. 4. Зависимости коэффициента  $a$  и углы  $\Delta\alpha_2$  от параметра  $m$ .

метим, что минимальная эффективность в середине рабочего диапазона  $\eta_m$  будет наблюдаться при частоте  $f_m$ , несколько большей, чем  $f_p$ , так как вблизи  $f_p$  увеличение частоты и соответствующее этому сужение диаграммы направленности происходит быстрее, чем уменьшение угла  $\Delta\alpha$ , необходимое для выполнения условий дифракции (см. рис. 3).

Очевидно, что чем больше  $\Delta\alpha_3$  и соответственно параметр  $m$ , тем меньше значение  $\eta_m$ . Условие  $\eta_m = \eta_{\min}$  определяет максимальное значение параметра  $m$ :  $m_{\max} = 1,35$ . При максимальном  $m$  будет наибольшей и полоса рабочих частот дефлектора. Поэтому для поддержания ее на заданном уровне при уменьшении  $m$  необходимо уменьшать длину преобразователя и увеличивать подаваемую мощность. Так, например, для рассчитанного нами дефлектора (см. рис. 6)

$$I_{s0}(m = 0,75) / I_{s0}(m = 1,35) = 1,67.$$

Конкретный выбор значения  $\eta_m$  (а значит, и коэффициента  $m$ ) определяется заданными требованиями к равномерности  $\eta = \eta(f)$ .

Задавая различные значения параметра  $m$  (при фиксированном  $n$ ), рассчитаем идеализированную характеристику АОД. По ней определим частоту  $f_m$  и связь между выбранным  $m$  и значением  $\eta_m$ :

$$\eta_m = \eta_{\min} + g_m \Delta\eta,$$

где  $\Delta\eta = \eta_{\max} - \eta_{\min}$ . Зависимость  $g_m = g_m(m)$  при  $n = 2$  приведена на рис. 5.

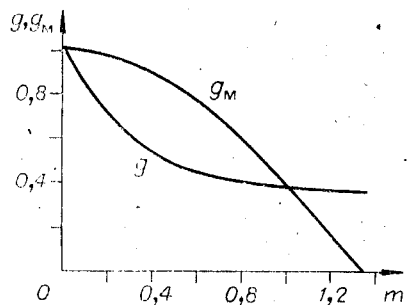


Рис. 5. Зависимость коэффициентов  $g$  и  $g_m$  от параметра  $m$ .

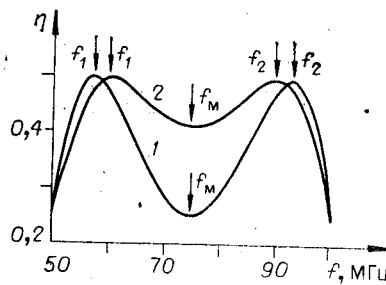


Рис. 6. Идеализированная характеристика АОД

$$(n = 2; f_{\min} = 50 \text{ МГц}; \eta_{\min} = 0,25; \eta_{\max} = 0,5; 1 - m = 1,35; 2 - m = 0,75).$$

В качестве иллюстрации на рис. 6 показана расчетная зависимость  $\eta = \eta(f)$  для двух значений  $m$ :  $m = 1,35$  и  $m = 0,75$ . Видно, что с уменьшением  $m$  зависимость  $\eta = \eta(f)$  становится более плавной: частоты  $f_1$  и  $f_2$ , при которых  $\eta$  достигает максимального значения, смещаются внутрь диапазона и могут быть представлены в виде эмпирических соотношений:

$$f_1 = f_{\min} + 1/2g\Delta f; \quad f_2 = f_{\max} - 1/2g\Delta f; \quad \Delta f = f_{\max} - f_{\min}.$$

Зависимость  $g = g(m)$  для  $n = 2$  приведена на рис. 5. Однако значение  $f_m$  при этом не изменяется. С достаточной точностью ее можно принять равной  $f_m = f_{\text{ср}} = 1/2(f_{\min} + f_{\max})$ . Значения частот  $f_{\min}$ ,  $f_1$ ,  $f_m$ ,  $f_2$ ,  $f_{\max}$  и соответствующих им значений  $\eta$  позволяют оценить вид  $\eta = \eta(f)$  при выбранном  $m$  без выполнения детального расчета всей характеристики.

VI. Для определения длины взаимодействия  $L$  и интенсивности звука  $I_{s0}$  необходимо знать  $\eta_{\max}$  и  $\eta_{\min}$ . Как известно [7], эффективность дифракции в режиме Брэгга в изотропном случае описывается соотношением

$$\eta = \sin^2 \left( \frac{\pi L}{\lambda_0} \sqrt{\frac{1}{2} M_2 I_s} \right). \quad (10)$$

Здесь  $M_2$  — коэффициент акустооптической добротности;  $I_s$  — интенсивность плоской звуковой волны с волновым вектором  $\mathbf{k}_3$ , удовлетворяющим закону сохранения импульса  $\mathbf{k}_2 = \mathbf{k}_1 \pm \mathbf{k}_3$ . В анизотропном случае без большой погрешности можно воспользоваться этим же выражением, но с измененным значением  $M_2$  [8]. Различие  $\eta_{\min}$  и  $\eta_{\max}$  в идеализированном случае определяется только отличием  $I_s(\Delta\alpha)$  от  $I_s(0) \equiv I_{s0}$ , т. е. диаграммой направленности преобразователя. Для прямоугольного преобразователя с равномерным по длине излучением \*

$$I_s(\Delta\alpha)/I_s(0) = (\sin^2 x)/x^2,$$

где  $x = \pi L f \Delta\alpha / v_s$ . Обозначив  $\sin x/x = F(x)$ , представим (10) в виде

$$\eta(\Delta\alpha) = \sin^2 [A_0 F(x)]. \quad (11)$$

Здесь  $A_0 = (\pi L / \lambda_0) \sqrt{1/2 M_2 I_s(0)}$ .

Замечая, что  $\eta_{\max} \equiv \eta(0) = \sin^2 A_0$ , найдем

$$A_0 = \arcsin \sqrt{\eta_{\max}}. \quad (12)$$

С другой стороны, минимальная эффективность будет на краю рабочей полосы при  $f = f_{\max}$  и  $\Delta\alpha = \Delta\alpha_2$  либо при  $f = f_{\min}$  и  $\Delta\alpha = \Delta\alpha_1$ . Таким образом,

$$\eta_{\min} \equiv \eta(\Delta\alpha_2) = \sin^2 [A_0 F(x_2)] = \sin^2 A,$$

где  $x_2 = \pi L f_{\max} \Delta\alpha_2 / v_s$  и  $A = A_0 F(x_2)$ . Отсюда  $A = A_0 F(x_2) = \arcsin \sqrt{\eta_{\min}}$  и, учитывая (12),

$$F(x_2) = \arcsin \sqrt{\eta_{\max}} / \arcsin \sqrt{\eta_{\min}}. \quad (13)$$

Зная  $F(x_2)$ , по таблицам находим само значение  $x_2$ . Поскольку в выражении для  $x_2$  неизвестна лишь длина взаимодействия, то

$$L = x_2 v_s / \pi f_{\max} \Delta\alpha_2. \quad (14)$$

После того как найдено  $L$ , не представляет труда определить необходимую интенсивность звука

$$I_{s0} = \frac{2}{M_2} \left( \frac{\lambda_0}{\pi L} \arcsin \sqrt{\eta_{\max}} \right)^2. \quad (15)$$

Чтобы из идеализированной характеристики  $\eta = \eta(f)$  получить реальную, необходимо знать зависимость  $I_s(0) \equiv I_{s0}$  от частоты и подсчитать вели-

\* Нам интересуют расходящаяся звуковая волна лишь вдоль направления распространения света.

чину  $A$  с учетом характеристики преобразователя:  $A = A_0 F(x) \kappa$ , где  $\kappa = I_{s_0}(f)/I_{s_0}(f_r)$ ;  $f_r$  — частота резонанса, на которой  $I_{s_0}$  максимально.

Для оценки предложенной методики расчета АОД на парателлурите сопоставим параметры дефлектора, описанного в [1], с рассчитанными по данной методике. К сожалению, прямое сопоставление оказалось невозможным, так как в [1] не приведено ни одной из характерных частот дефлектора (имеется лишь упоминание, что частота антирезонанса преобразователя  $f_a$  составляет 85 МГц).

Допустим, что дефлектор имеет полосу, равную октаве (т. е.  $n = 2$ ), и среднюю частоту диапазона  $f_{cp} = 1/2(f_{min} + f_{max})$ , равную частоте  $f_r$  резонанса преобразователя. Последняя для ниобата лития примерно равна  $f_r \approx 0,8f_a$  [9].

Таким образом, было принято  $f_{cp} = 68$  МГц,  $f_{min} = 45$  МГц,  $f_{max} = 90$  МГц. Выполнив расчет согласно вышеприведенной методике, получим  $\alpha = \varphi_d = 6^\circ 06'$ ;  $\varphi_n = 4^\circ 30'$ .

Эти значения хорошо согласуются с данными [1]:  $\alpha = \varphi_d = 6^\circ 0'$ ;  $\varphi_n = 4^\circ 12'$ .

#### ЛИТЕРАТУРА

1. Yano T., Kawabuchi M., Fukumoto A. and Watanabe A. TeO<sub>2</sub> anisotropic Bragg light deflector without midband degeneracy.— Appl. Phys. Lett., 1975, v. 26, N 12, p. 689—691.
2. Брыжина М. Ф., Есаян С. Х. Анизотропный АО дефлектор на одноосных кристаллах с оптической активностью.— ЖТФ, 1977, т. 47, вып. 9, с. 1937—1943.
3. Тищенко Ю. П., Трубецкой А. В. Некоторые вопросы создания и исследования акустооптического дефлектора на монокристаллах TeO<sub>2</sub>.— Автометрия, 1979, № 4, с. 87—95.
4. Федоров Ф. И. Теория упругих волн в кристаллах.— М.: Наука, 1965.
5. Сиротин Ю. П., Шаскольская М. П. Основы кристаллофизики.— М.: Наука, 1975.
6. Uchida N. Optical properties of single — crystal paratellurite (TeO<sub>2</sub>).— Phys. Rev., 1971, v. 4, N 10, p. 3736—3744.
7. Pharisean P. On the diffraction of light by progressive supersonic waves.— Proc. Indian Acad., 1956, v. 44, p. 165—170.
8. Harris S. E., Wallace R. W. Acousto-optic tunable filter.— JOSA, 1969, v. 59, N 6, p. 744.
9. Warner A. W., White D. L., Bonner W. A. Acousto-optic light deflectors using optical activity in paratellurite.— J. Appl. Phys., 1972, v. 43, N 11, p. 4489—4495.

Поступила в редакцию 21 ноября 1984 г.

УДК 535.241.13 : 534 : 621.373.826.032.265

С. В. БОГДАНОВ  
(Новосибирск)

### УСЛОВИЯ ВОЗНИКНОВЕНИЯ ПОВТОРНОЙ ДИФРАКЦИИ И ЕЕ ВЛИЯНИЕ НА РАБОЧУЮ ПОЛОСУ АКУСТООПТИЧЕСКОГО ДЕФЛЕКТОРА

I. Хотя физические принципы работы акустооптических дефлекторов (АОД) в настоящее время полностью ясны, тем не менее имеется ряд вопросов, существенных для расчета АОД и проработанных пока еще недостаточно. К ним относится явление повторной дифракции света.

Возникновение повторной дифракции приводит к тому, что точки второго порядка дифракции могут попасть в рабочий диапазон частот АОД, а интенсивность дифрагированного света снижается. Соответственно на характеристике  $\eta = I_{диф}/I_{пад} = \eta(f)$  появляется «провал» в районе частот  $f_n$ , при которых существует повторная дифракция. (Поэтому частоту  $f_n$  часто называют частотой «провала».)